



Faculty of Forest, Geo and Hydro Sciences, Department of Hydrosciences, Institute of Hydrology and Meteorology, Chair of Meteorology

TurbEFA Erste Ergebnisse des Freilandexperimentes

Ronald Queck, TUD

MetStröm WS Dresden, 09.09.2010





Faculty of Forest, Geo and Hydro Sciences, Department of Hydrosciences, Institute of Hydrology and Meteorology, Chair of Meteorology

Ergebnisse von Freilandexperimenten

- Individual conclusion from the ADVEX campaigns
- WinCanop
- TurbEFA
 - Räumliche Repräsentativität der Messungen
 - Ballonaufstieg
- •Ansätze zur Parameterschätzung C_D
- Mittlungsintervall
- Quellflächenexperiment
- Schlussfolgerung

Individual conclusion from the ADVEX campaigns

- Advection of energy and matter occurs even at sites which look very homogeneous
- There is a large scatter in the signal and the methods for measuring and modelling the phenomenon are still not satisfying
- A large part of the uncertainty occurs due to the limited knowledge about the spatial distribution of the quantities to determine, especially the wind field

Questions

How can we derive a more reliable wind field based on local measurements?

What are the key parameters to model the flow through the canopy?

- \rightarrow Drag coefficient C_D and mixing length I_m
- \rightarrow C_D and I_m are mainly functions of the plant area density \boldsymbol{a}

$$C_D = f(a, u, \zeta, ...)$$



$$I_m = f(a, u, \zeta, ...)$$





WinCanop - Experiment

At CEIP site Tharandter Wald (8/2007-11/2007)

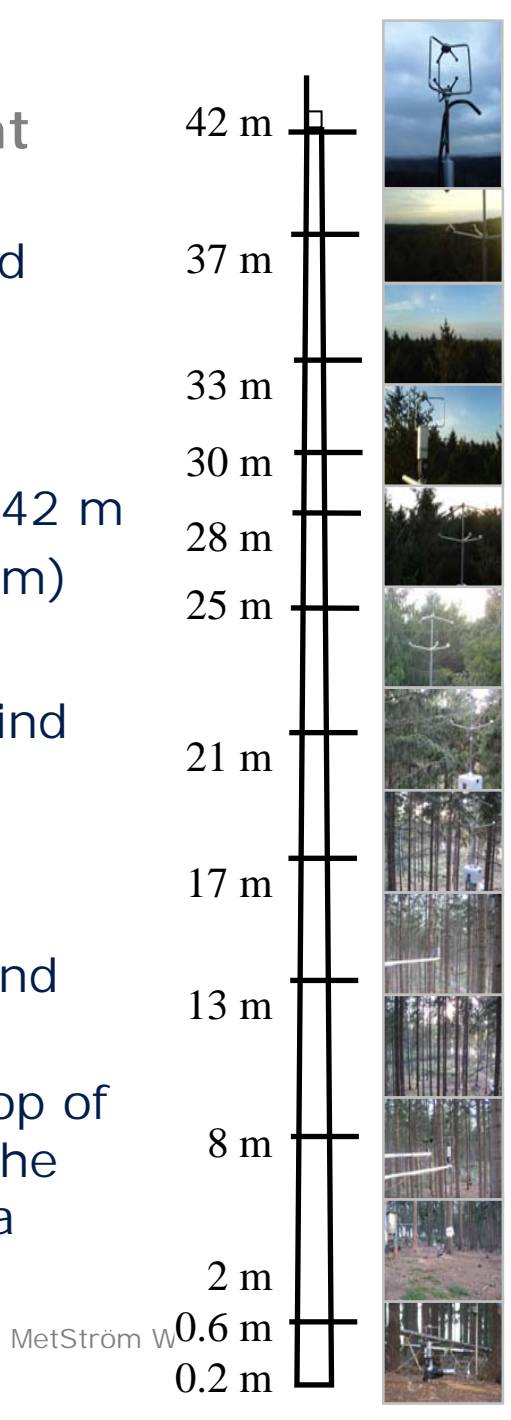
Setup / Measurements:

13 Sonics over a range of 42 m LAI2000 (vertical res. 0.5 m)

Features of the horizontal wind speed:

- Inflection point in canopy height
- Secondary maximum of wind speed in trunk space
- Highest variability at the top of the canopy and lowest at the maximum of the plant area density

R. Queck TUD,









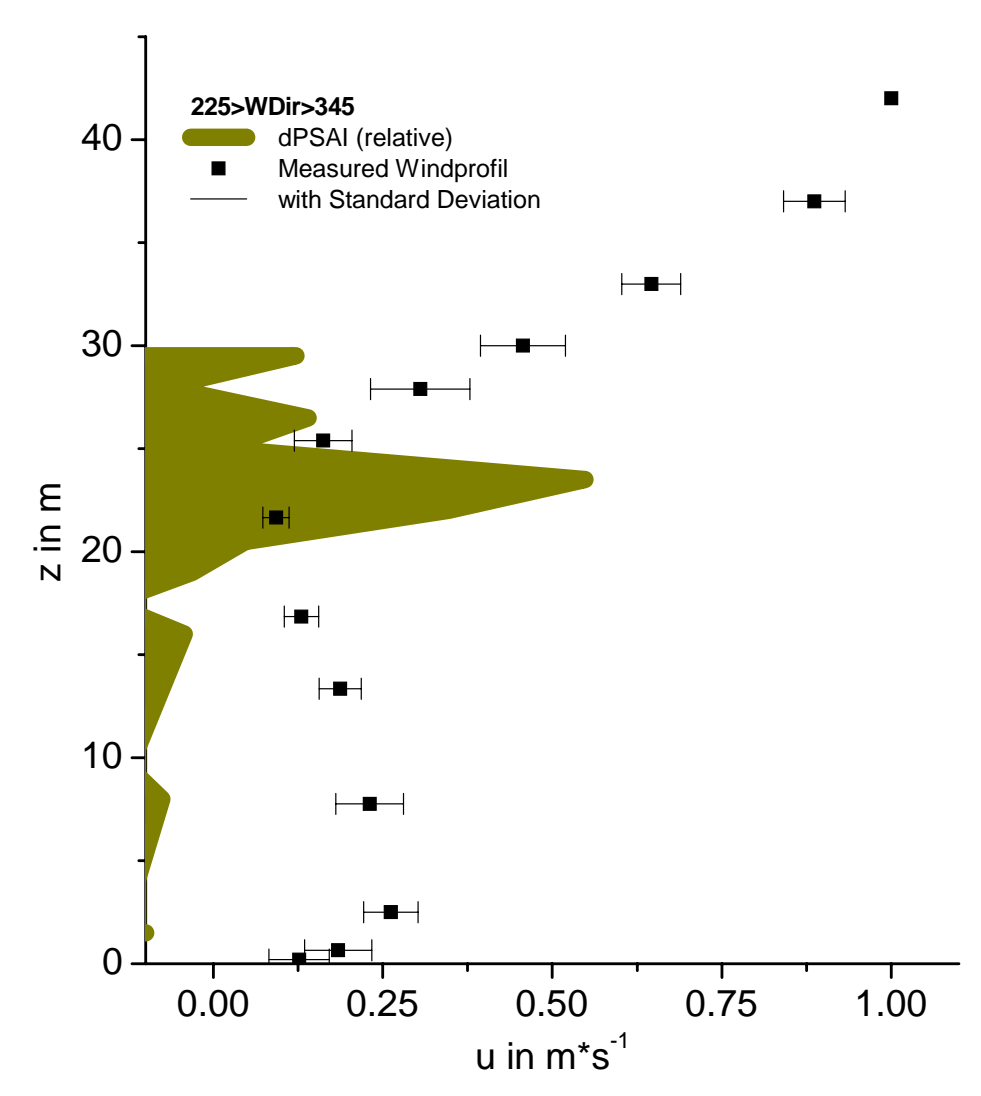
WinCanop - Experiment

At CEIP site Tharandter Wald (8/2007-11/2007)

Setup / Measurements: 13 Sonics over a range of 42 m LAI2000 (vertical res. 0.5 m)

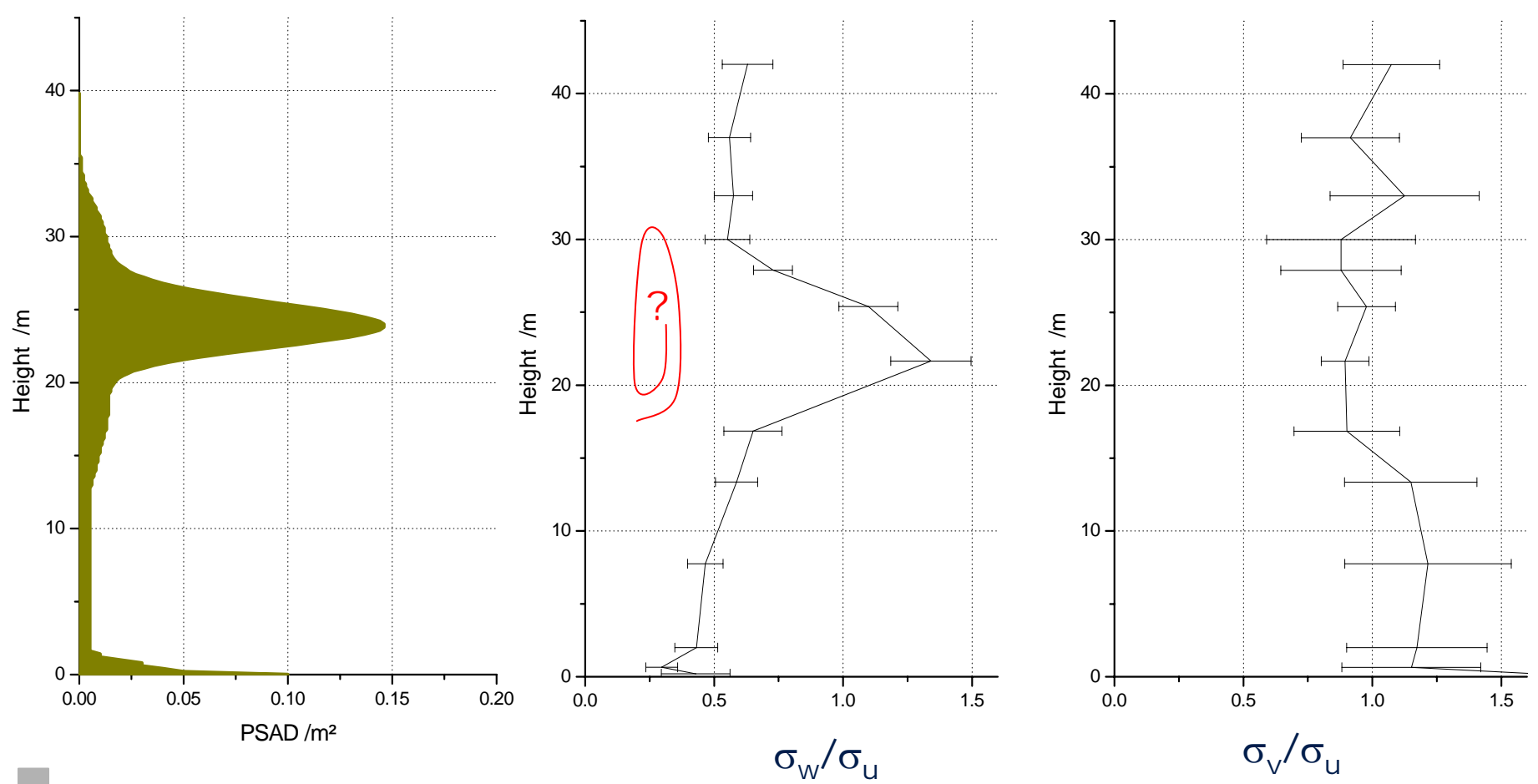
Features of the horizontal wind speed:

- Inflection point in canopy height
- Secondary maximum of wind speed in trunk space
- Highest variability at the top of the canopy and lowest at the maximum of the plant area density



WinCanop: Features of Transfer Processes

Profiles of standard deviations





Project: Metström – TurbEFA

Turbulent Exchange processes between Forested areas and the Atmosphere

Field study

Start: 01.04 2008

"Real" data assessment

LES 1, 2D-BLM (HIRVAC 2D) LES₂ IFS H Temperature

Wind

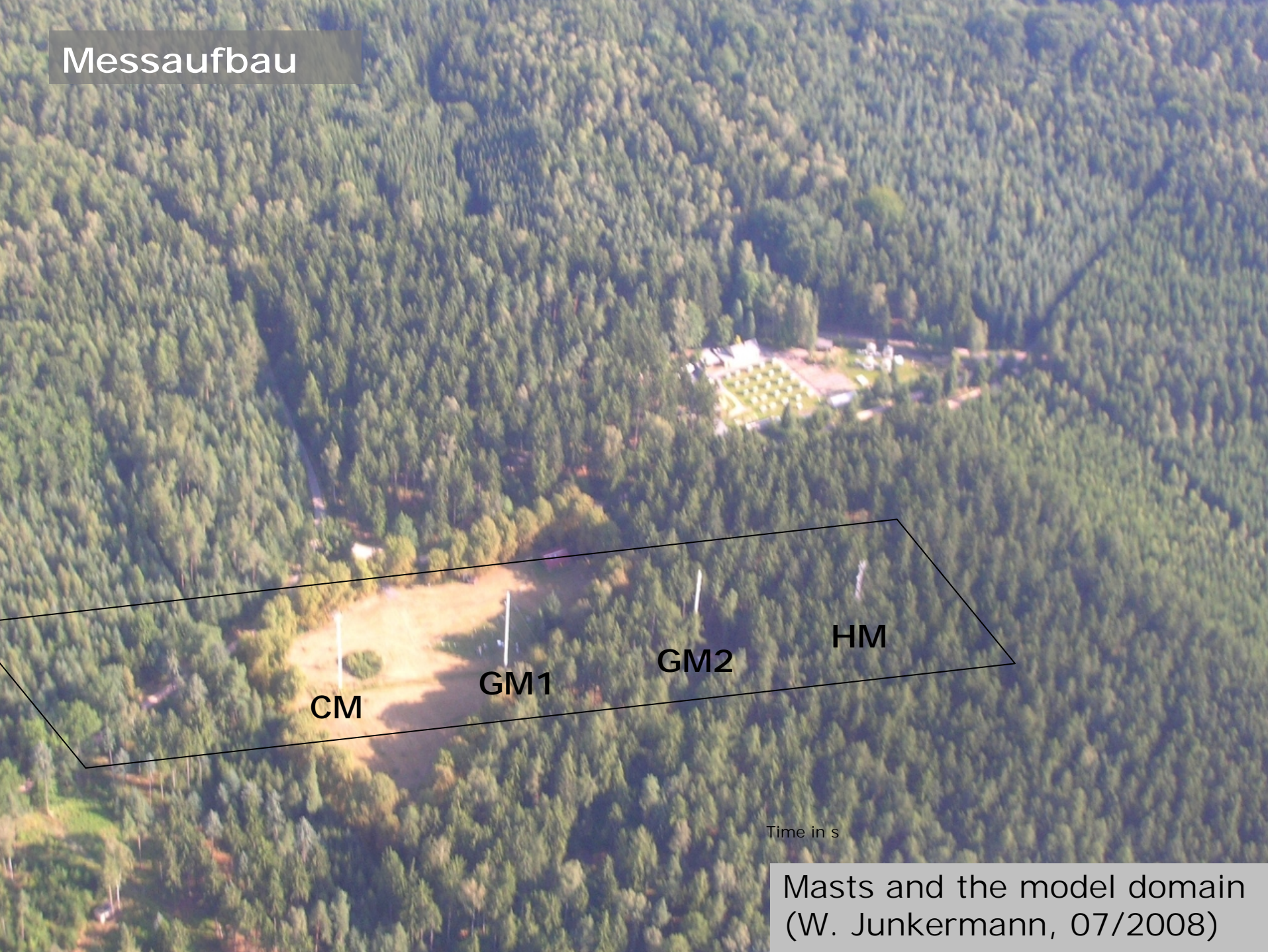
Masts at 4 positions on a westeast transect

Distance: 50m - 60m

Heights: 30m, 40m, 40m, 42m

Instrumentation used in this study: 27 ultrasonic anemometers (Gill /Young/ Metek) on 32 positions

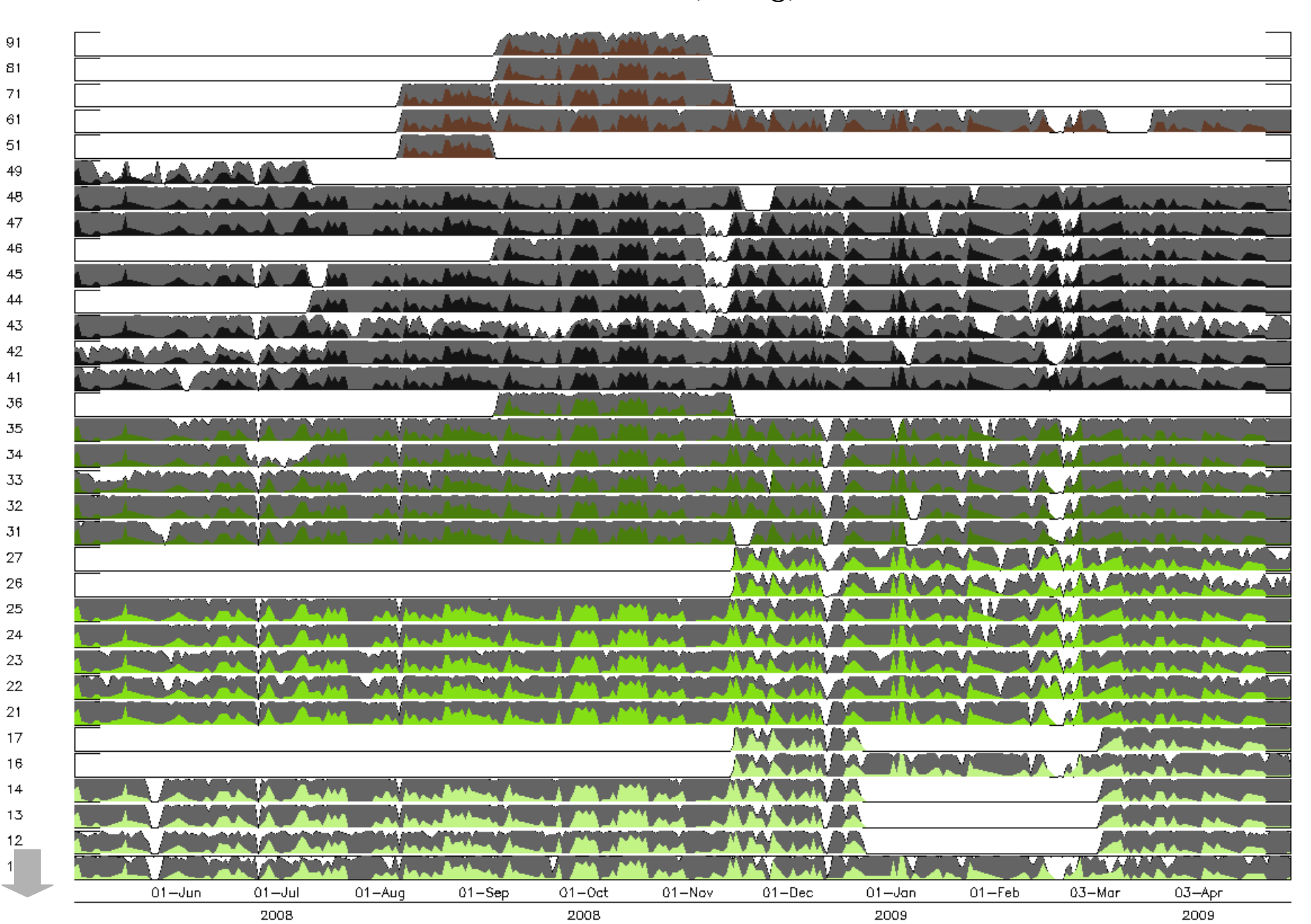
synchronous registration and storage of 20 Hz raw data from 5/2008 to 5/2009

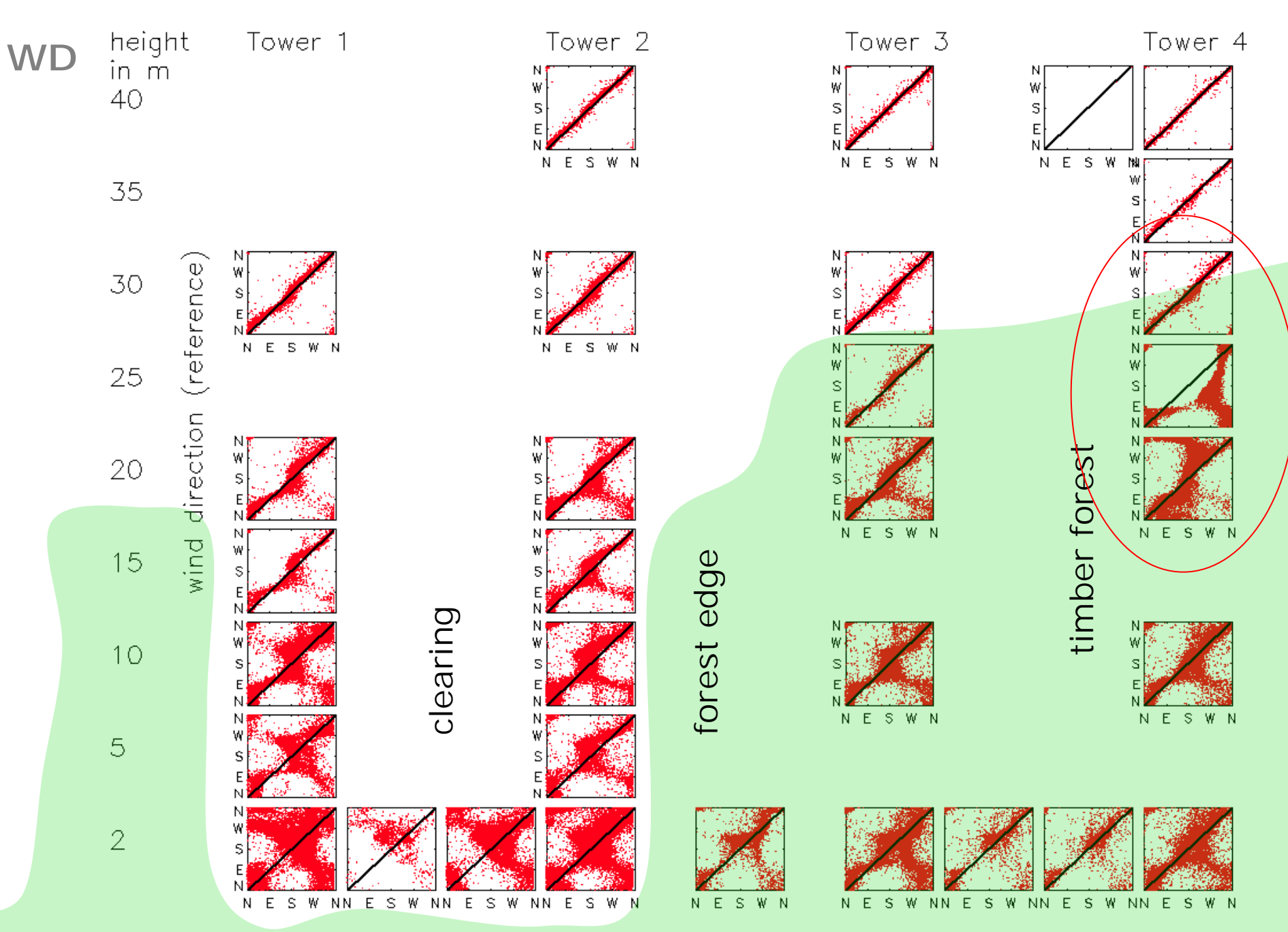






Sonic Data 8000 h -> neutrale Fälle (farbig) -> davon West Wind < 500 h





wind direction (sensors at specific positions)

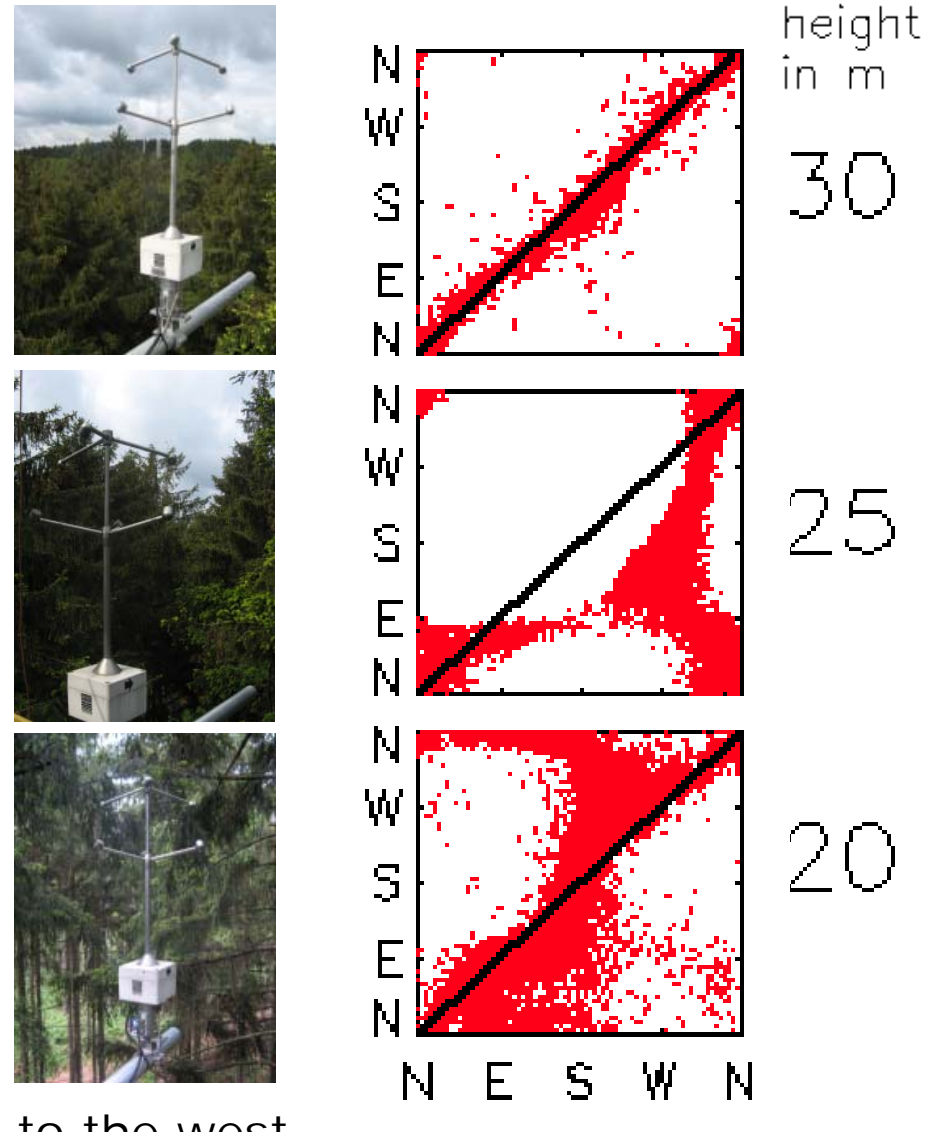
Spatial representativeness of wind measurements in dense canopies

 Wind direction is influenced by roughness

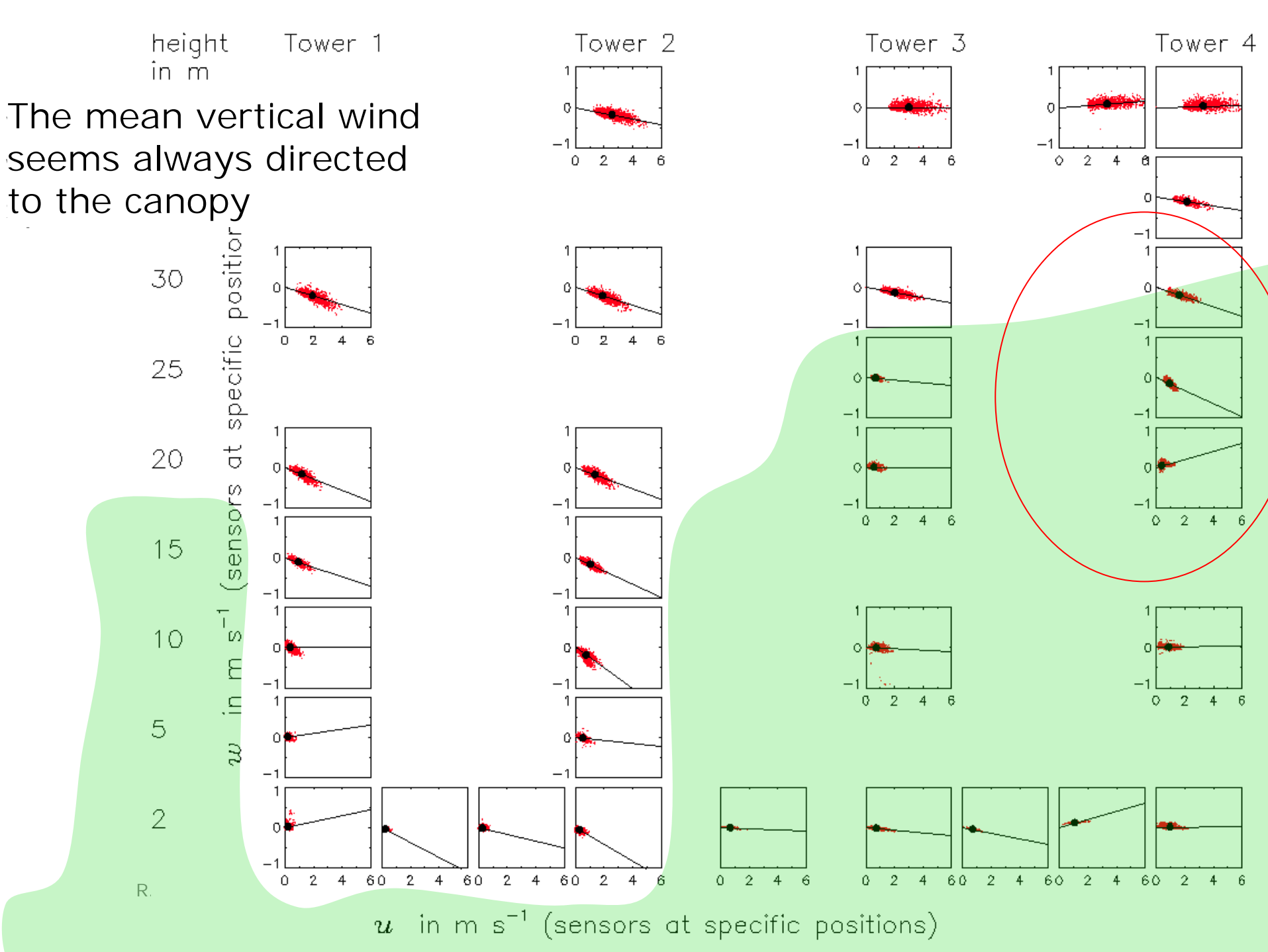
elements near the sensor

 Vertical profiles of horizontal wind speed are very heterogeneous and depend on the wind direction

- Sensors (towers) are mostly placed at open spaces
 - → Resulting in an overestimation of the wind speed

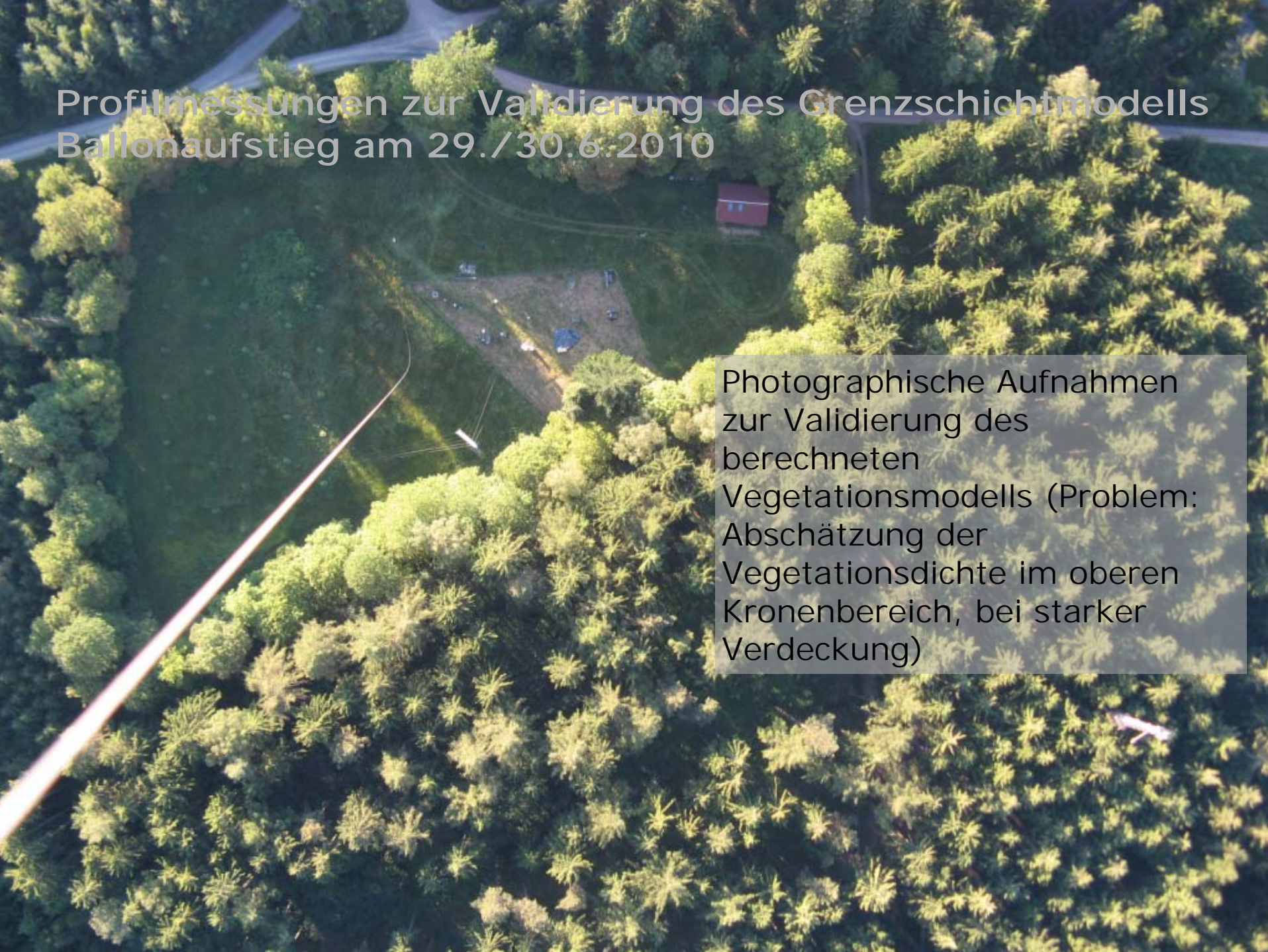


View to the west

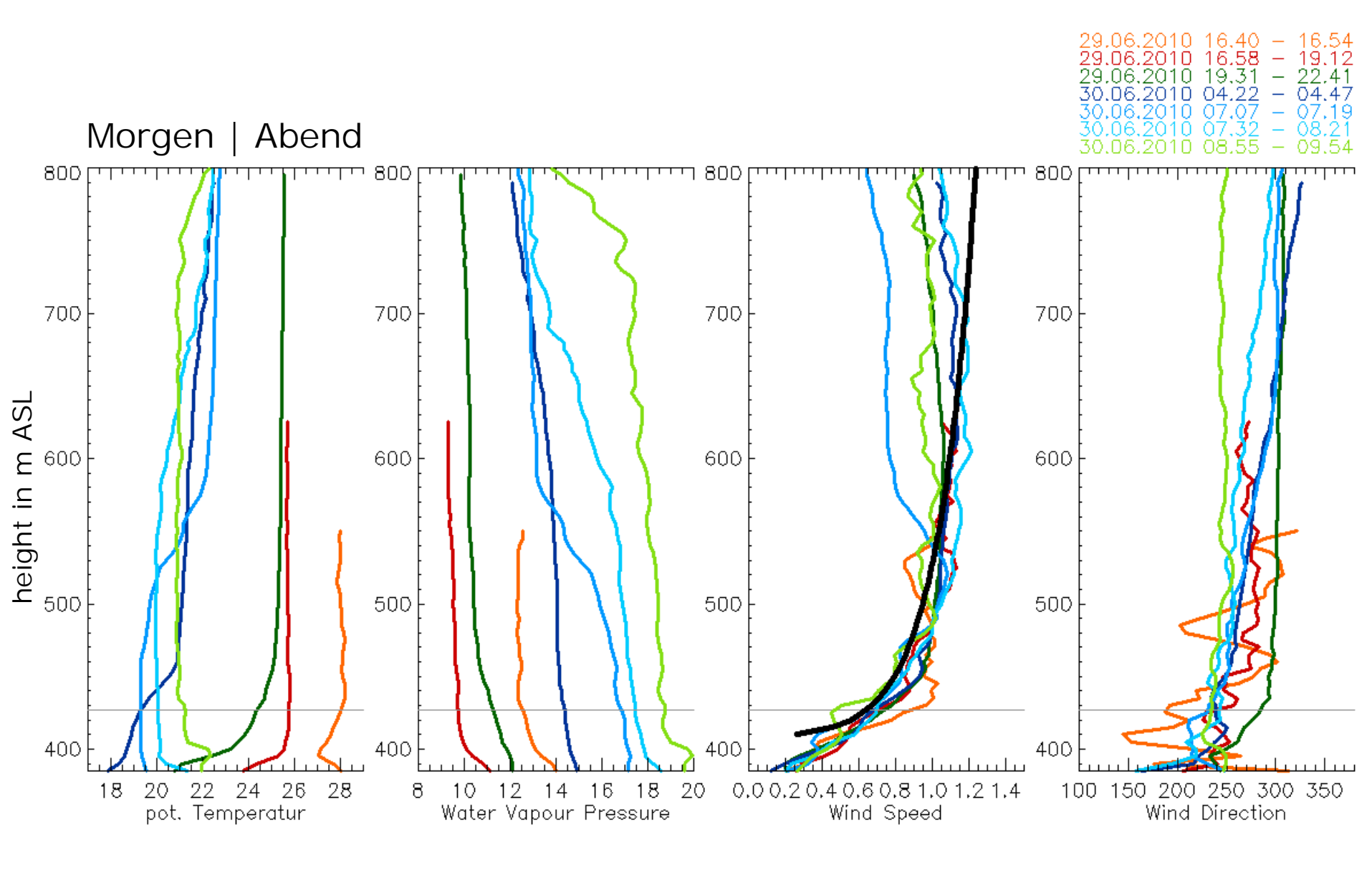


Profilmessungen zur Validierung des Grenzschichtmodells Ballonaufstieg am 29./30.6.2010





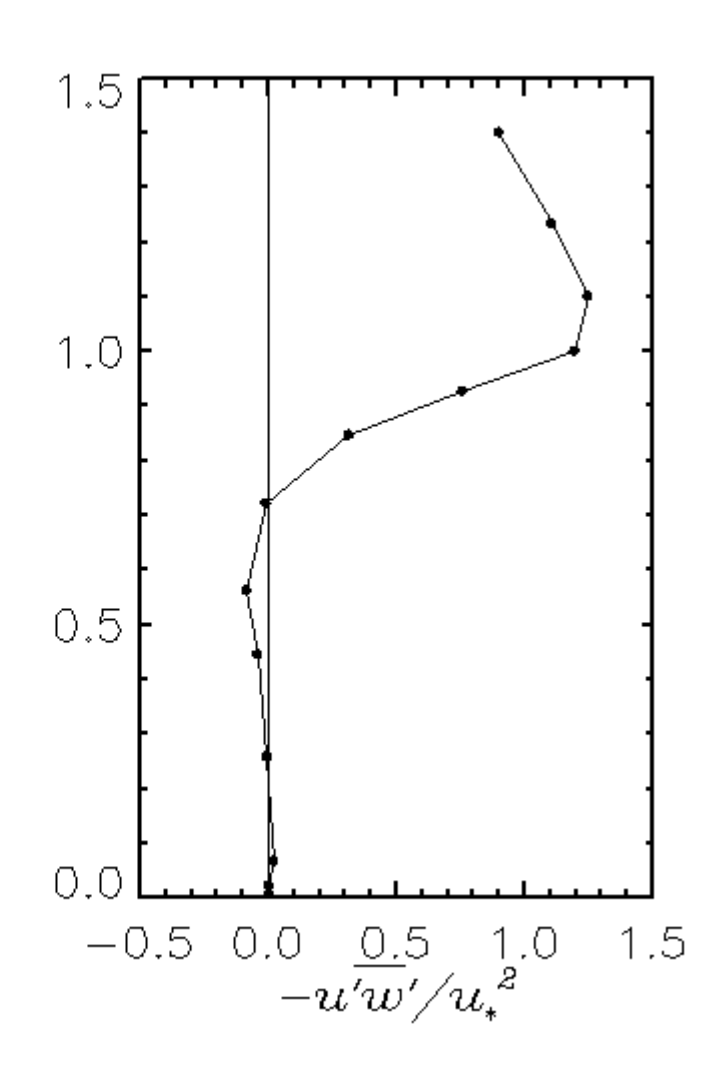
Profilmessungen zur Validierung des Grenzschichtmodells



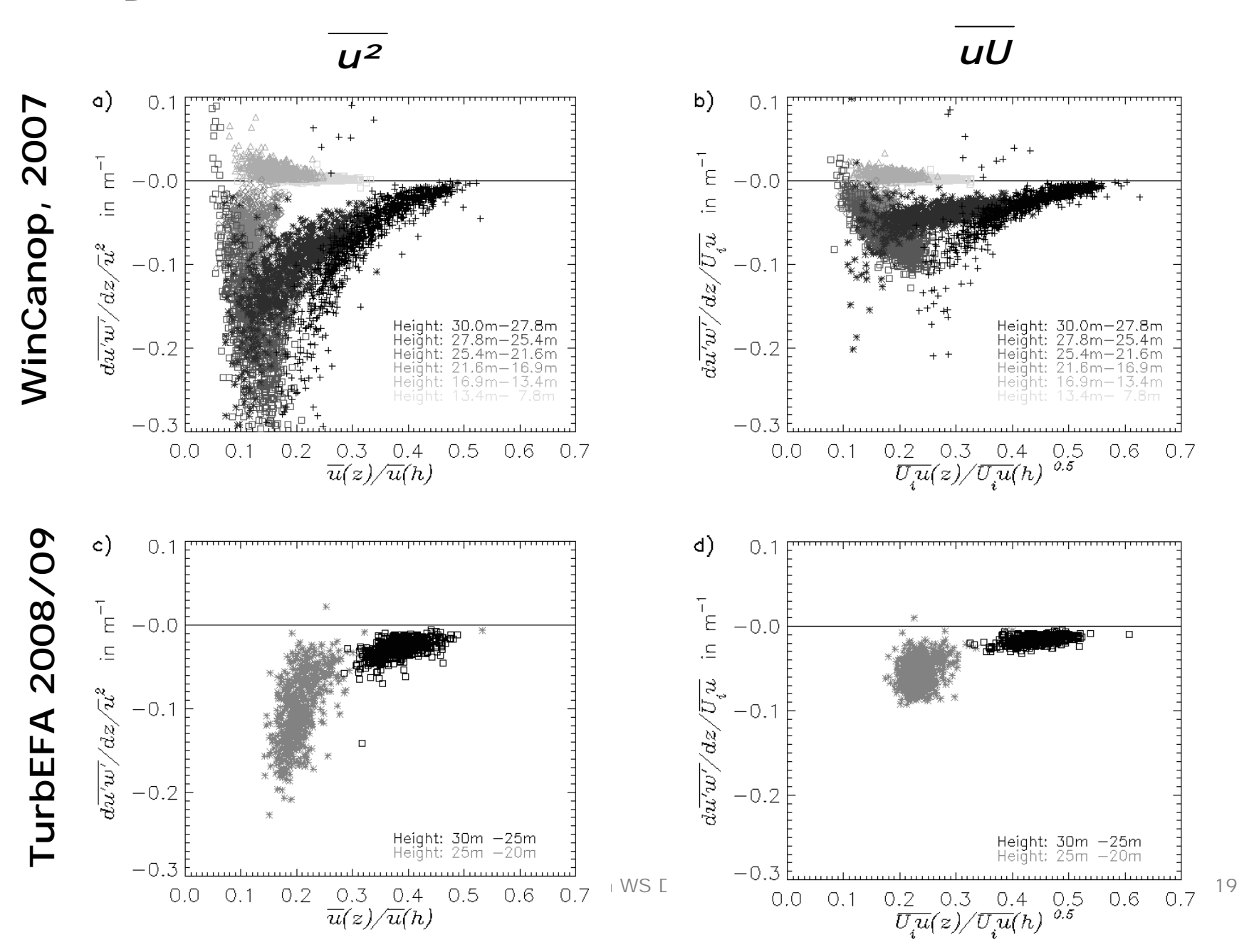
Bestimmung von Modellparametern: Drag coefficient

$$\left| -\frac{d\overline{u'w'}}{dz} \right| = C_D(z)a(z)u^2(z)$$

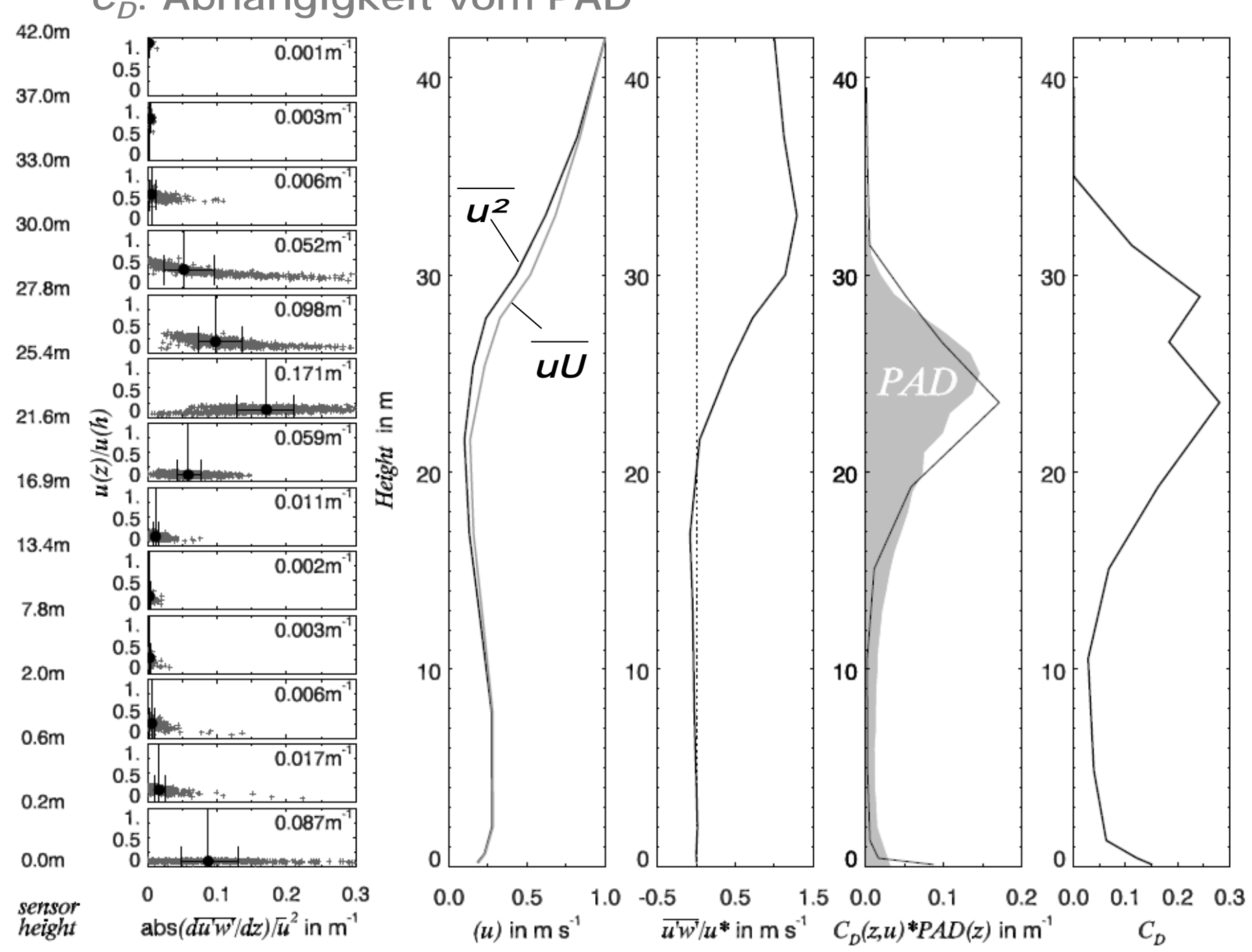
$$\overline{U_i u} = \sqrt{u^2 + v^2 + w^2 \cdot u}$$

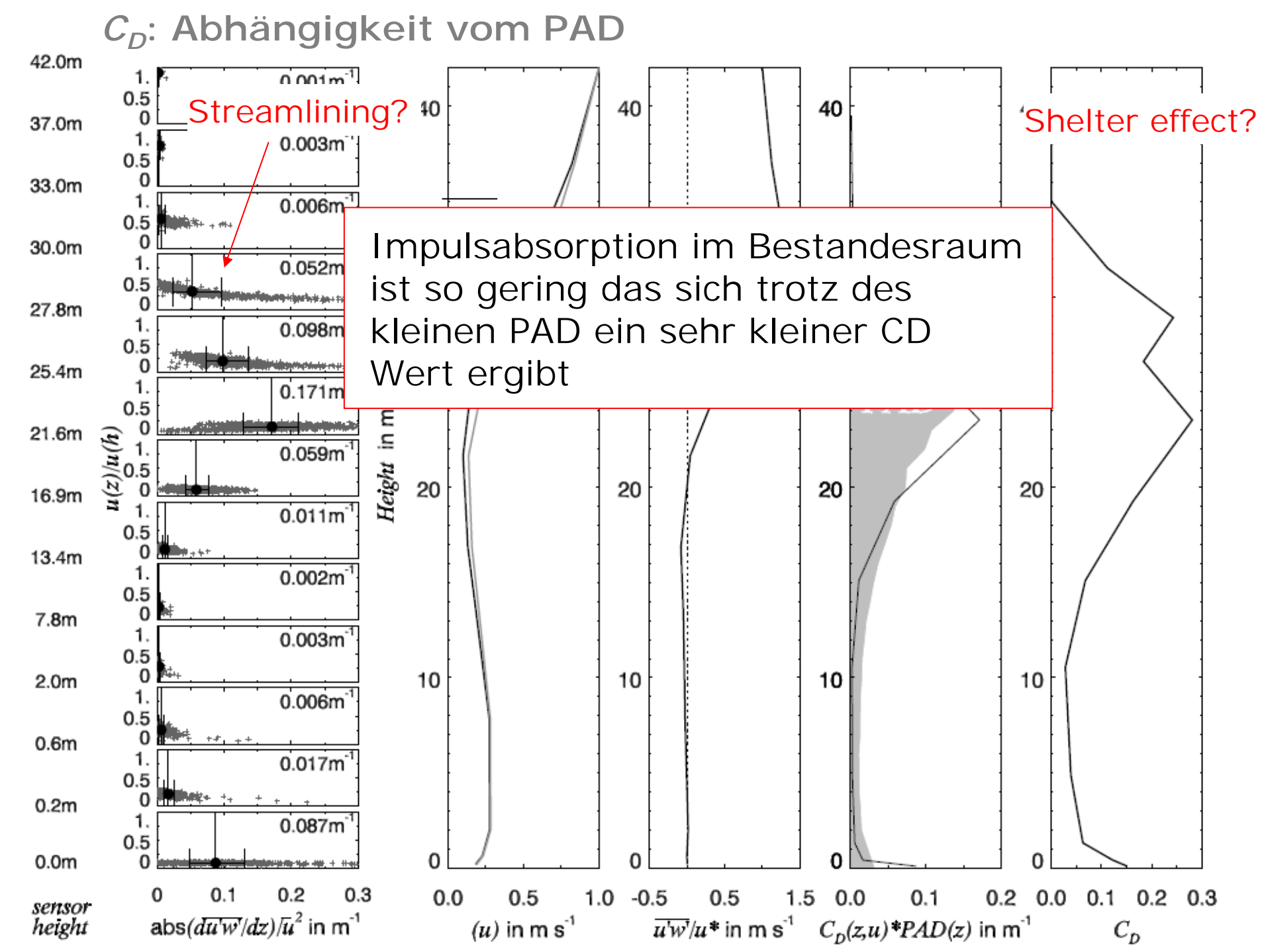


C_D: Abhängigkeit von der Windgeschwindigkeit



C_D: Abhängigkeit vom PAD



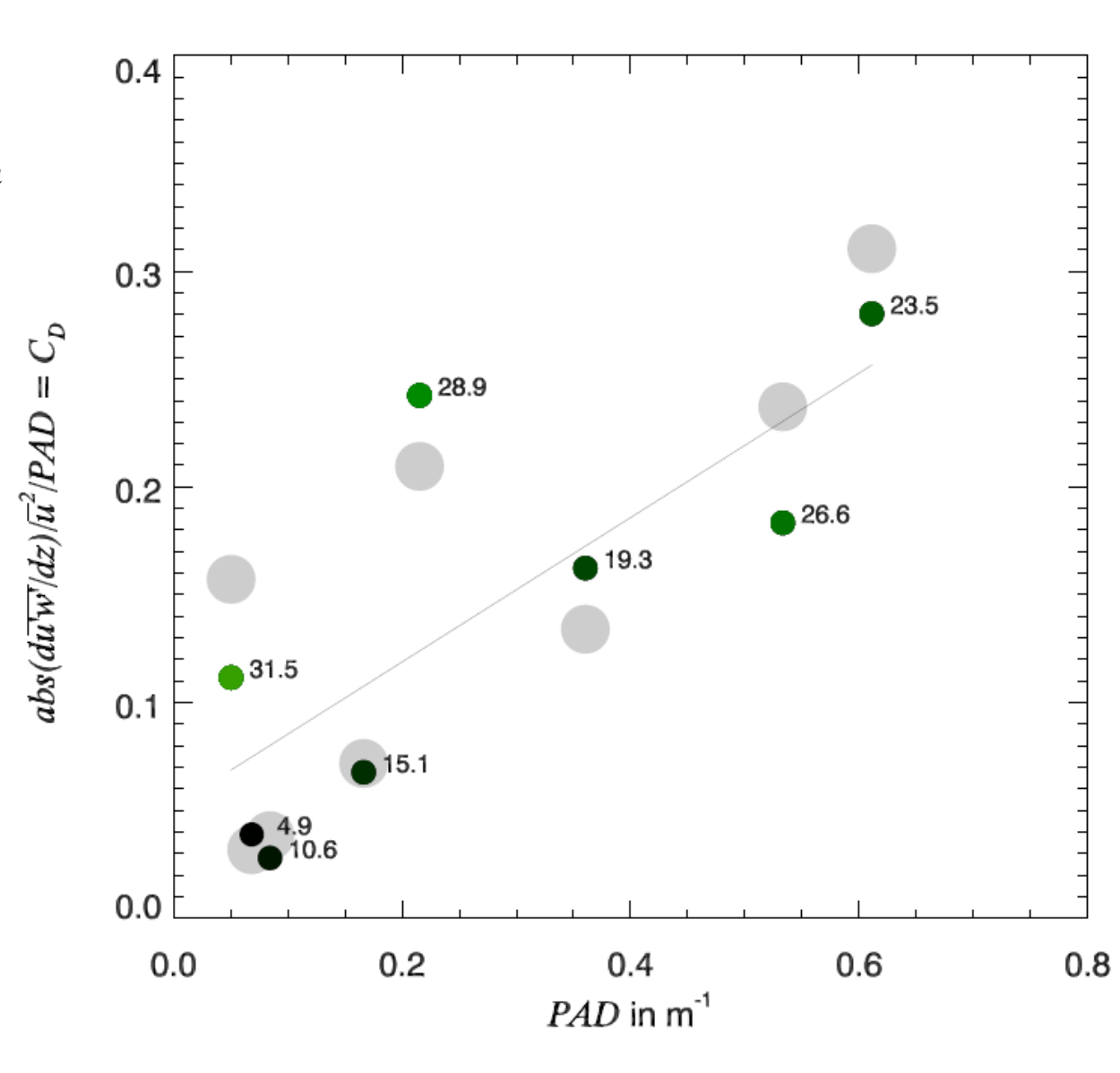


C_D: Abhängigkeit vom PAD

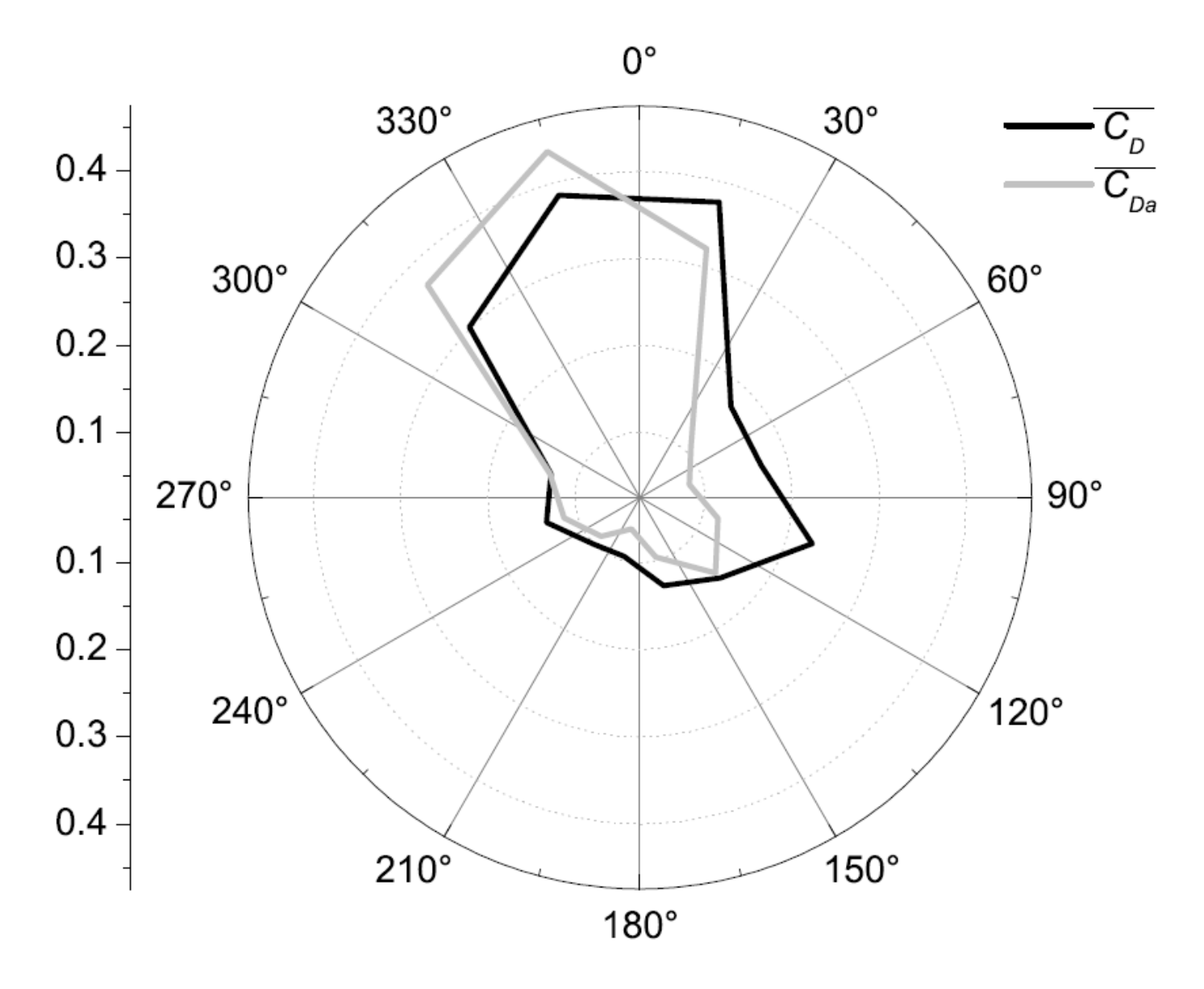
$$C_D = C_{D,0} PAD^n \overline{u}^m$$

$$n = 0.57$$

$$m = -0.8$$

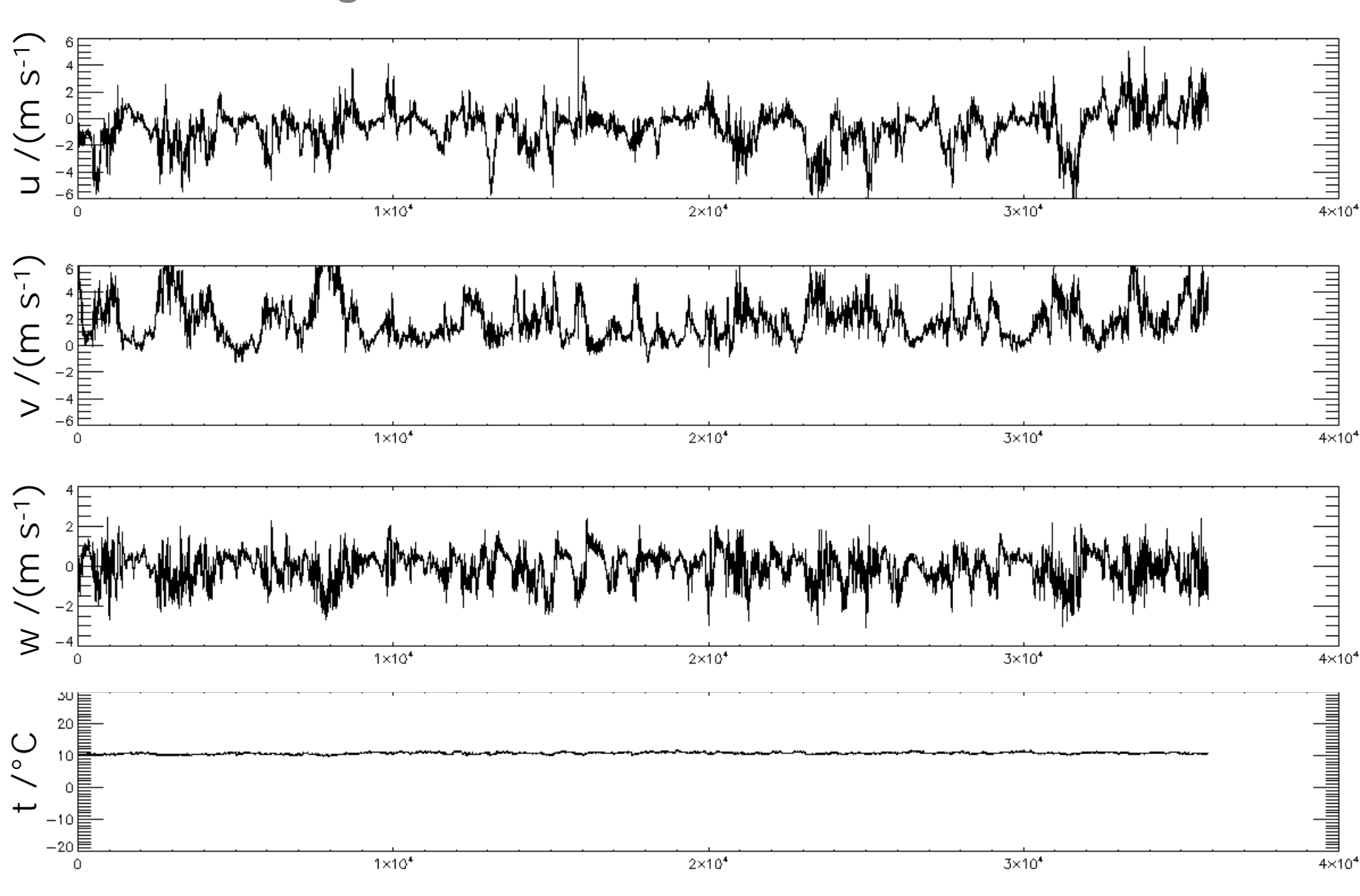


C_D: Abhängigkeit von der Windgeschwindigkeit



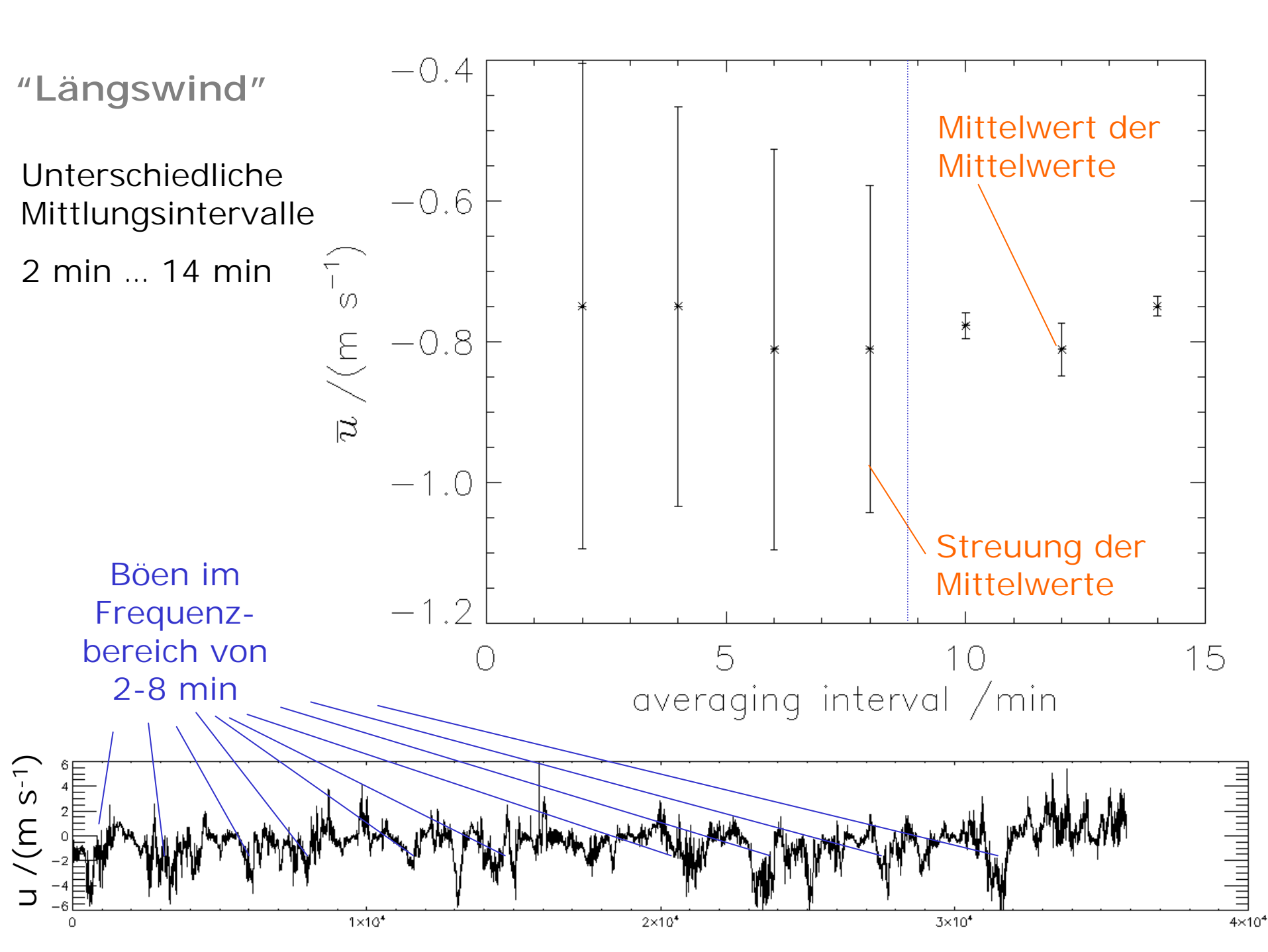


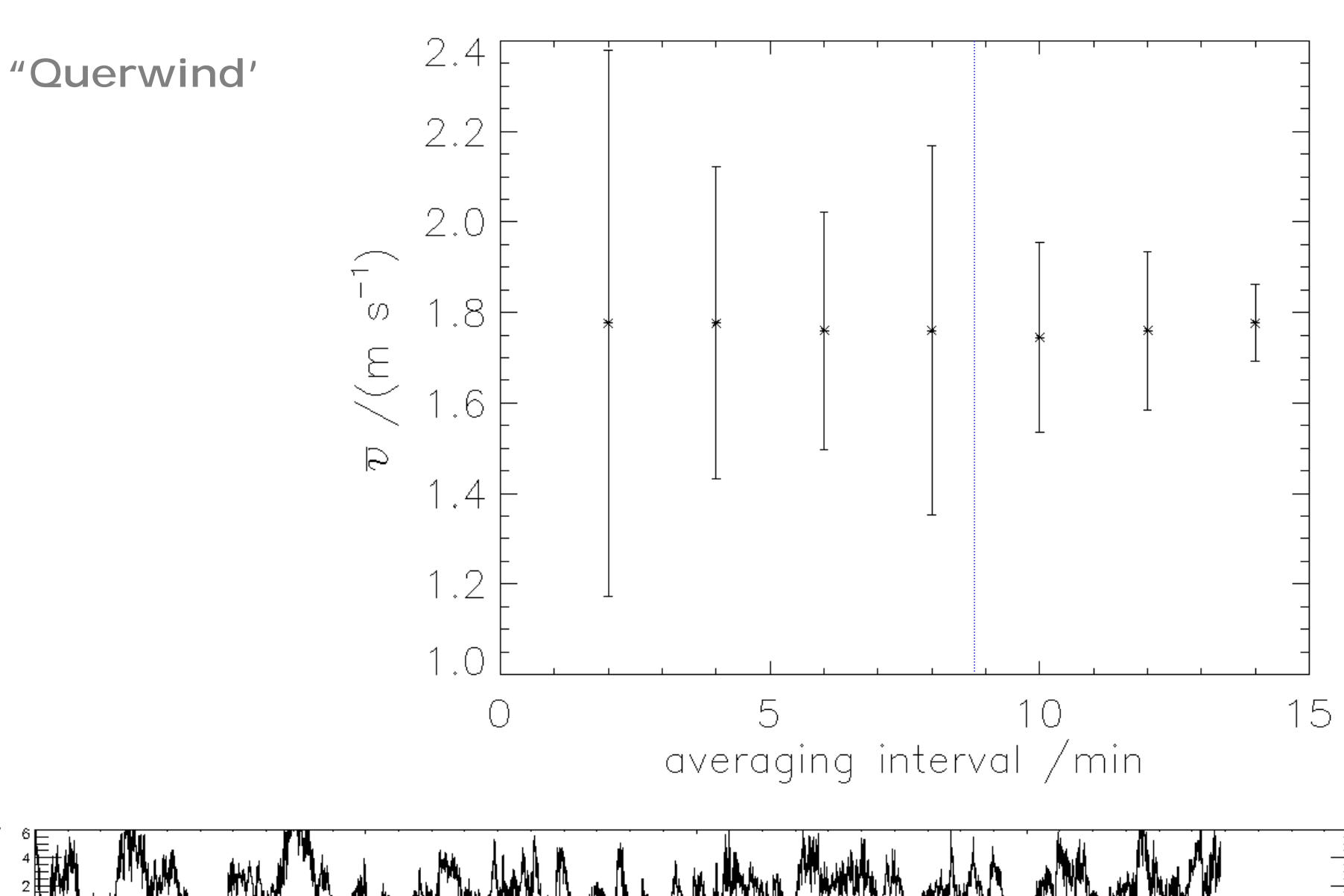
Abhängigkeit statistischen Kenngrößen vom Mittlungsintervall

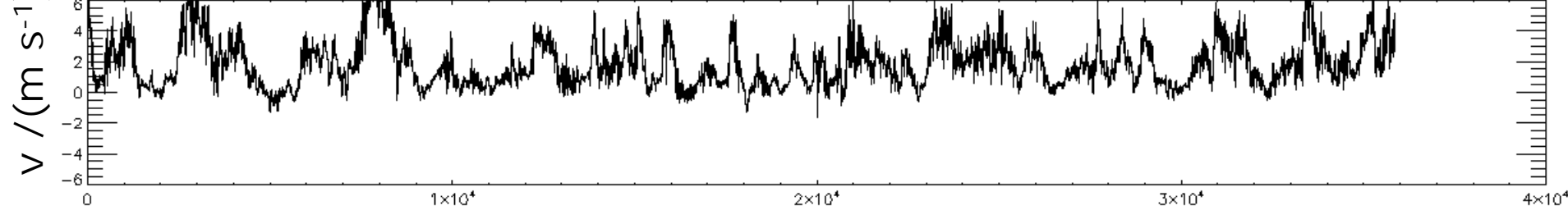


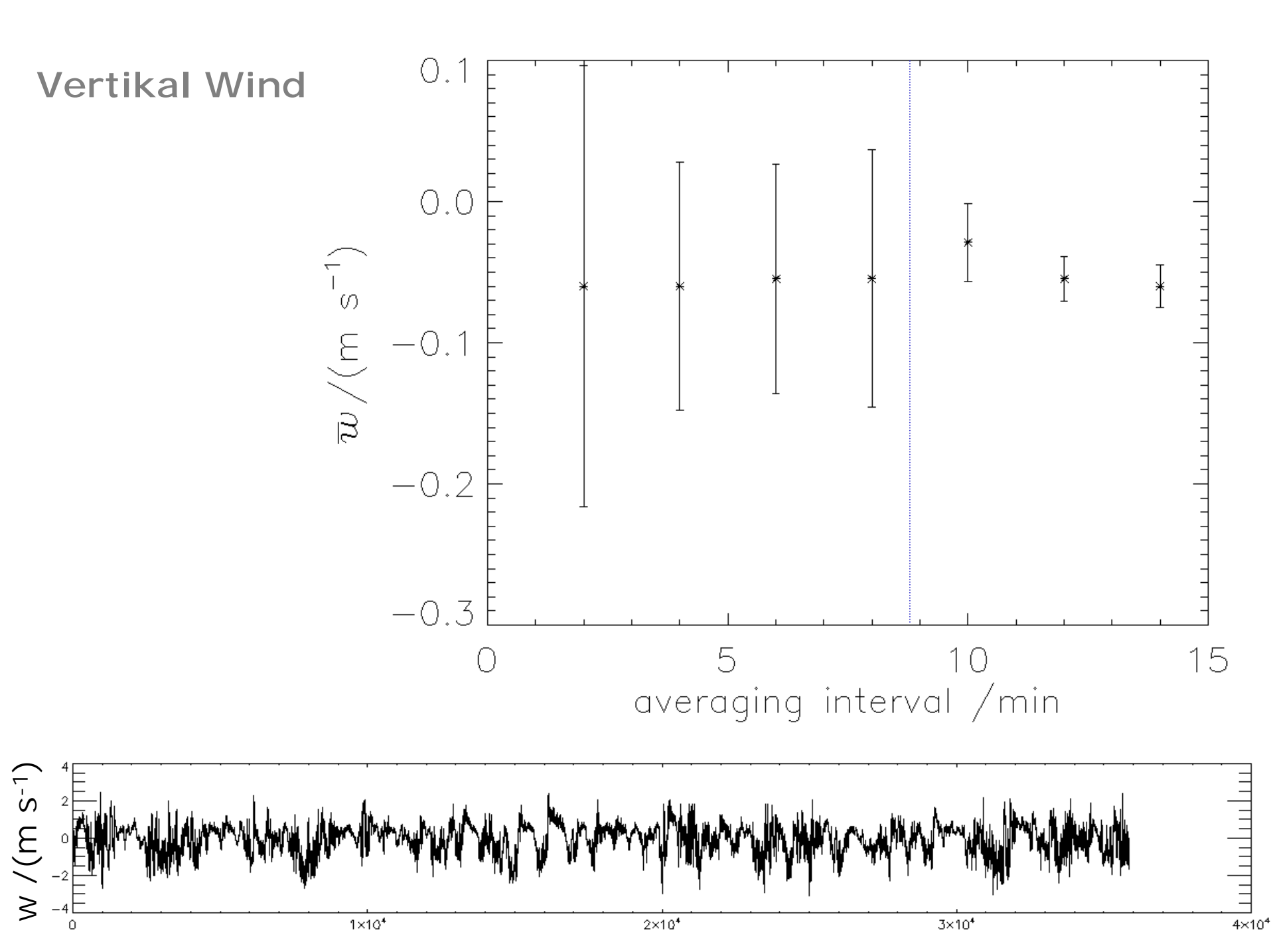
Abhängigkeit statistischen Kenngrößen vom Mittlungsintervall

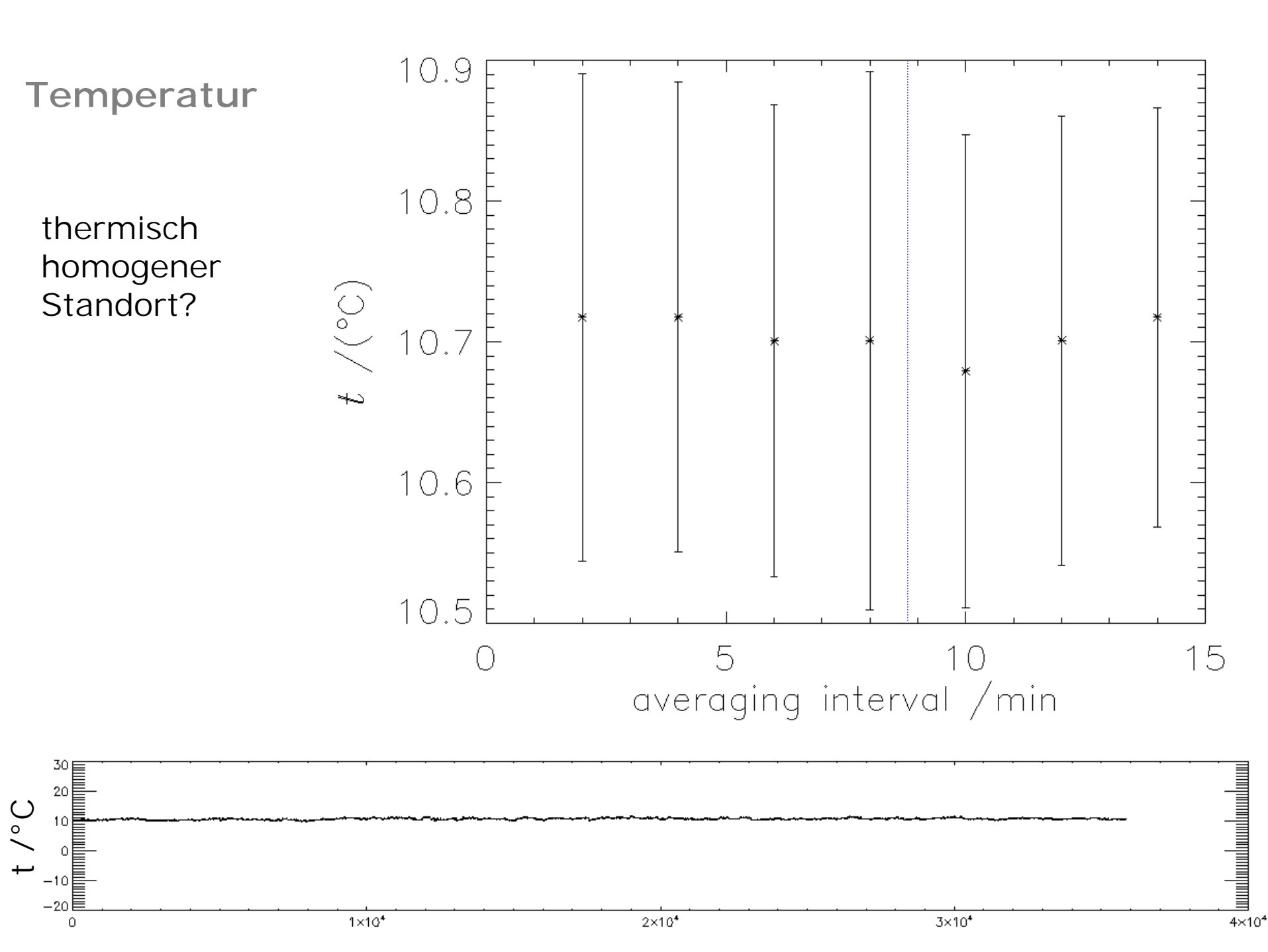


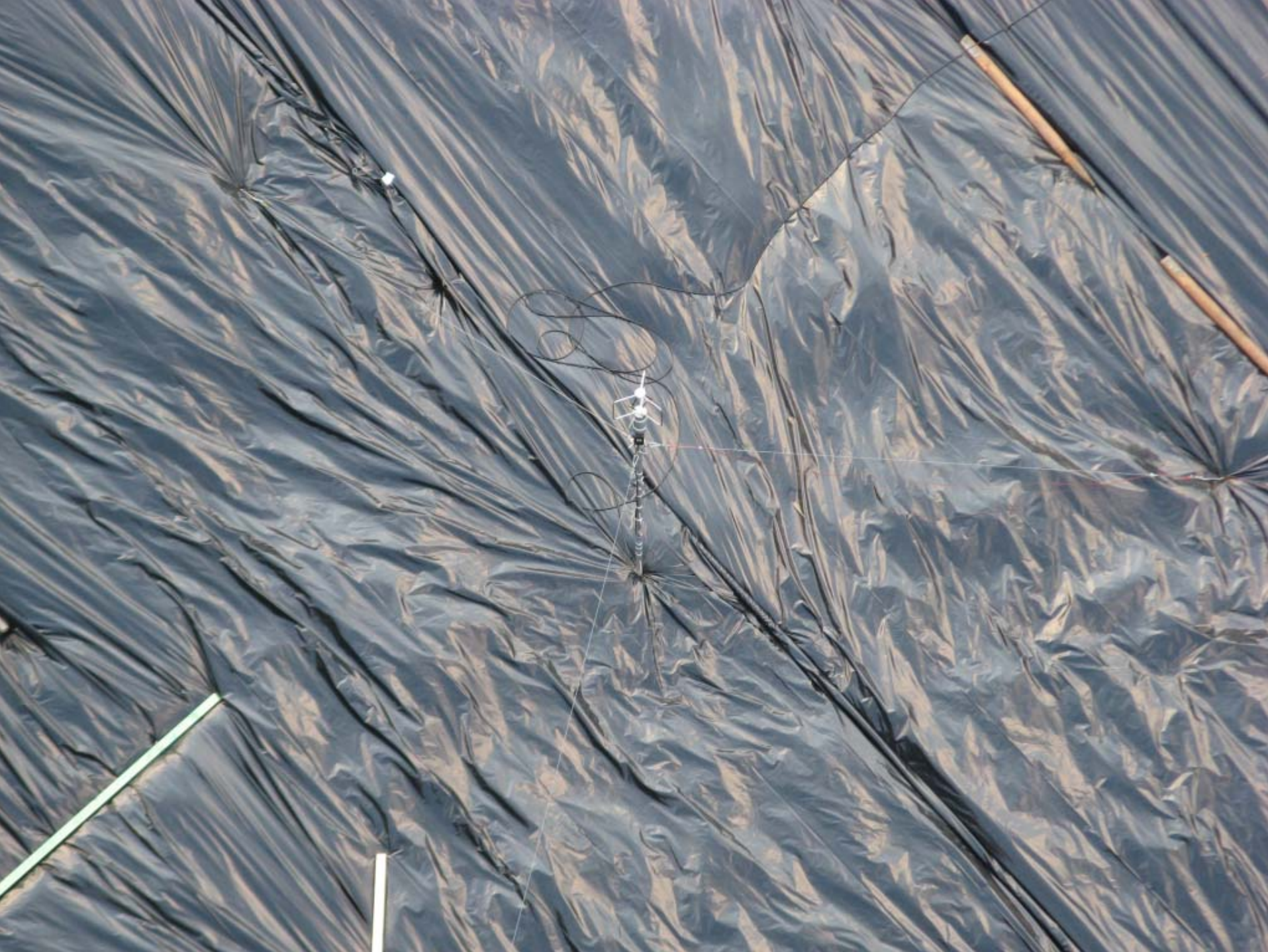




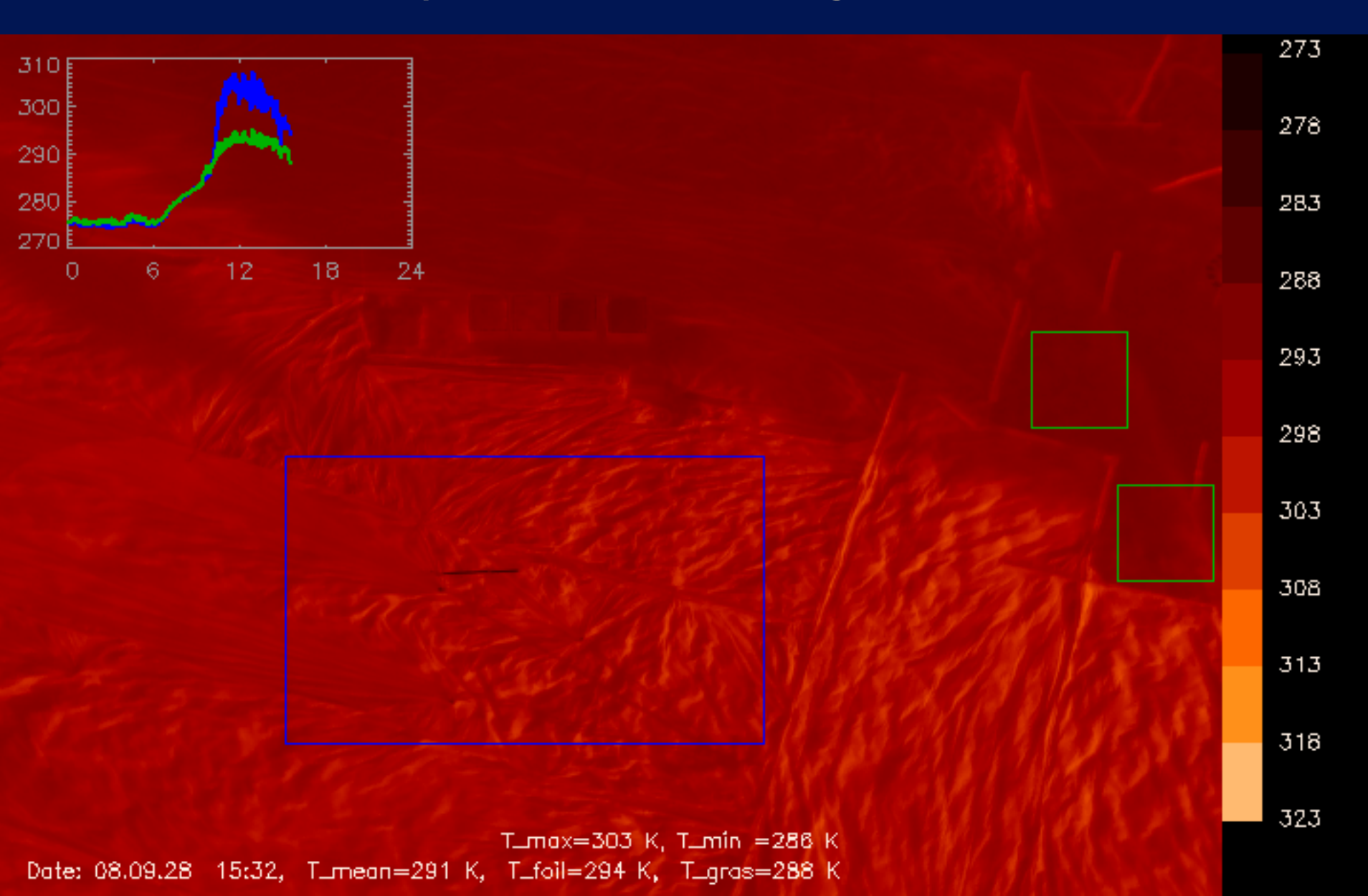






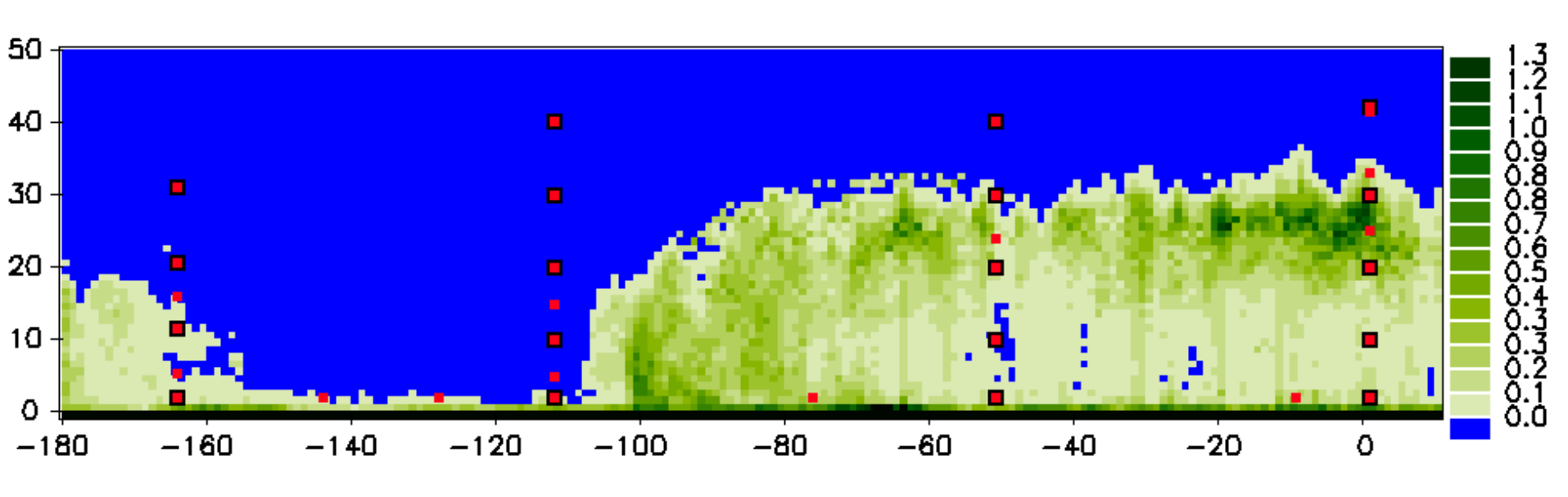


Quellflächenexperiment: Black Days



Schlussfolgerung und Fragen

- Lokale Windrichtung und –geschwindigkeit kann sich stark vom räumlich gemittelten Wind unterscheiden. Es wurden systematische Beeinflussungen im Kronenraum gefunden.
 - Können kleinskalige Modellierung (lokale Gitterverfeinerung) helfen die Messungen im Bestand zu interpretieren?
- C_D ist offensichtlich eine Funktion der Bestandesstruktur (und der Windgeschwindigkeit)
 - Kann das Quellvolumen für die lokale Turbulenz, die an einem Punkt im Bestand gemessen wird, aus der Modellierung bestimmt werden?



Schlussfolgerung und Fragen

- Lokale Windrichtung und –geschwindigkeit kann sich stark vom räumlich gemittelten Wind unterscheiden. Es wurden systematische Beeinflussungen im Kronenraum gefunden.
 - Können kleinskalige Modellierung (lokale Gitterverfeinerung) helfen die Messungen im Bestand zu interpretieren?
- C_D ist offensichtlich eine Funktion der Bestandesstruktur (und der Windgeschwindigkeit)
 - Kann das Quellvolumen für die lokale Turbulenz, die an einem Punkt im Bestand gemessen wird, aus der Modellierung bestimmt werden?
- In den häufigsten Fällen wird in mit Mittlungsintervall von 30 min 60 min der größte Teil der im Freiland auftretenden Turbulenz erfasst. Eine Verlängerung der Mittlungszeit (Ensemble Mittel) hat keine Senkung des Turbulenzgrades zur Folge.
 - Ist es sinnvoll Zeitreihen für einen Vergleich mit den Modellergebnissen durch geeignete Filter zu glätten (Böen entfernen?)?

Danke für Ihre Aufmerksamkeit









